

緩傾斜堤への波の打ち上げ高さに及ぼす堤脚水深の影響 -不規則波実験-

東北工業大学 学生員○松本 見  
 東北工業大学 正員 高橋 敏彦  
 東北工業大学 正員 沼田 淳

1. まえがき

前報<sup>1)</sup>において、相対水深の違いが緩傾斜堤への波の打ち上げ高さにどの程度影響を与えるか、不規則波を用いて実験を行い報告した。本研究は、前報のデータを用い更に解析し、堤脚水深の違いが反射率、エネルギー消費に及ぼす影響についても検討を行うことを目的とした。

2. 実験装置及び実験条件

前報と同じであるので要約して記述する。実験水路は、長さ20.0m、幅0.6m、深さ0.7mの両面ガラス張り造波水路を2分して片側0.3mの水路を使用した。水路の一端にピストン型反射波吸収制御付き不規則波造波装置、他端には合板で1/40勾配を作成し、その上に模型堤体を設置した。模型堤体は、滑面、有孔被覆ブロック（空隙率15%）、及び有孔被覆ブロック+透水層（ $d=2.5\sim4.75\text{mm}$ の砂利で層厚約20.0mm）の3種類で、のり面勾配はすべて1:4と固定した。実験は、一様部水深 $h=0.3\sim0.42\text{m}$ 、周期 $T=1.26\text{sec}$ 、波高 $H=1.0\sim10.0\text{cm}$ 、相対水深 $h_i/L_o\sim0.05$ 迄0.01刻みの6ケースである。実験値としては有義波を用いた。表-1に実験条件を示す。

表-1 実験条件

実験 No.	T(sec)	H(cm)	h/L <sub>o</sub>	h <sub>i</sub> (cm)
A-1	1.26	1.0	0.00	0.00
A-2			0.01	2.48
A-3			0.02	4.95
A-4			0.03	7.43
A-5			0.04	9.91
A-6			0.05	12.38
B-1	1.26	5	0.00	0.00
B-2			0.01	2.48
B-3			0.02	4.95
B-4			0.03	7.43
B-5			0.04	9.91
B-6			0.05	12.38
C-1	1.26	10.0	0.00	0.00
C-2			0.01	2.48
C-3			0.02	4.95
C-4			0.03	7.43
C-5			0.04	9.91
C-6			0.05	12.38

3. 実験結果及び考察

3-1. R/H<sub>o</sub>とh<sub>i</sub>/L<sub>o</sub>の関係

図-1(a)、(b)、(c)は、R/H<sub>o</sub>とh<sub>i</sub>/L<sub>o</sub>の関係をH<sub>o</sub>/L<sub>o</sub>をパラメータとして図示したもので、(a)は滑面、(b)は有孔被覆ブロック、(c)は有孔被覆ブロック+透水層に対する実験結果である。各図とも、H<sub>o</sub>/L<sub>o</sub>が小さいほどR/H<sub>o</sub>が大きくなるが、H<sub>o</sub>/L<sub>o</sub>の違いによるR/H<sub>o</sub>の変化はh<sub>i</sub>/L<sub>o</sub>が大きくなるにつれて小さくなる傾向を示している。すなわち、h<sub>i</sub>/L<sub>o</sub>が大きくなるとH<sub>o</sub>/L<sub>o</sub>がR/H<sub>o</sub>に及ぼす影響は小さくなるといえる。

3-2. KrとH<sub>o</sub>/L<sub>o</sub>の関係

図-2(a)、(b)は滑面と有孔被覆ブロック+透水層のKrとH<sub>o</sub>/L<sub>o</sub>の関係をh<sub>i</sub>/L<sub>o</sub>をパラメータとして図示したものである。h<sub>i</sub>/L<sub>o</sub>=0.00の場合には、両図のKrはほぼ同程度の値となっているが、他は全て滑面の方が大きい値を示している。各図共、h<sub>i</sub>/L<sub>o</sub>=0.05~0.02まではほぼ同程度のKrであるが、h<sub>i</sub>/L<sub>o</sub>=0.01、0.00になると急激にKrが小さくなる傾向を示している。

3-3. エネルギー消費

各ケースの水表面単位面積当たりの総エネルギー消費E<sub>loss</sub>は次式で求めることができる。

$$E_{loss} = \frac{1}{8} \rho g H_i^2 - \frac{1}{8} \rho g H_r^2 = \frac{1}{8} \rho g H_i^2 \{1 - (Kr)^2\} \quad (1)$$

ここに、 $\rho$ :水の密度、 $g$ :重力加速度、 $H_i$ :入射波高、 $H_r$ :反射波高、 $Kr$ :反射率である。以下で述べるエネルギー消費は(1)式を用いている。

図-3は、h<sub>i</sub>/L<sub>o</sub>=0.02の場合の滑面、有孔被覆ブロック、有孔被覆ブロック+透水層のKrとH<sub>o</sub>/L<sub>o</sub>の関係を図示したものである。滑面、有孔被覆ブロック、有孔被覆ブロック+透水層の順にKrが大きく、H<sub>o</sub>/L<sub>o</sub>が大きくなるにつれてKrは小さくなる。他の

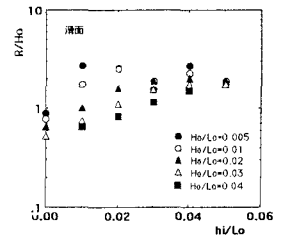


図-1(a) R/H<sub>o</sub>とh<sub>i</sub>/L<sub>o</sub>の関係 (滑面)

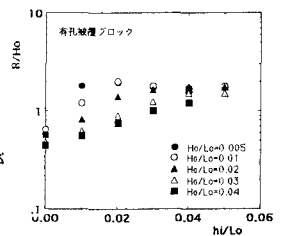


図-1(b) R/H<sub>o</sub>とh<sub>i</sub>/L<sub>o</sub>の関係 (有孔被覆ブロック)

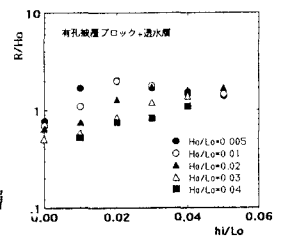


図-1(c) R/H<sub>o</sub>とh<sub>i</sub>/L<sub>o</sub>の関係 (有孔被覆ブロック+透水層)

ケースも同様の傾向を示している。図-4は、滑面によるエネルギー消費( $E_{b, loss}$ 、砕波によるエネルギー消費と仮定)と有孔被覆ブロックによるエネルギー消費(粗面、 $E_{r, loss}$ )の割合と $H_o/L_o$ の関係を図示したものである。 $H_o/L_o \doteq 0.005$ で粗度のエネルギー消費は約10%弱であり、 $H_o/L_o$ が大きくなるに従い粗度のエネルギー消費は小さくなる。 $H_o/L_o \doteq 0.03$ より大きくなると殆ど砕波によるエネルギー消費となる。

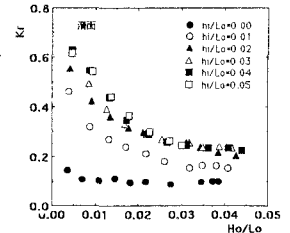


図-2(a)  $K_r$ と $H_o/L_o$ の関係 (滑面)

図-5は、図-4と同様、粗度と砕波によるエネルギー消費の割合を $h_i/L_o$ をパラメータとして図示したものである。図より、いずれの $H_o/L_o$ においても $h_i/L_o$ が大きいくほど粗度によるエネルギー消費が大きくなる。 $h_i/L_o=0.05$ の場合 $H_o/L_o \doteq 0.005$ で粗度によるエネルギー消費は、総エネルギー消費の約20%強であり、 $h_i/L_o$ が小さくなるにつれて徐々に小さくなり、 $h_i/L_o=0.00$ ではほとんど0である。 $h_i/L_o=0.00$ を除き、 $H_o/L_o \doteq 0.03$ で粗度によるエネルギー消費はほぼ0となる。

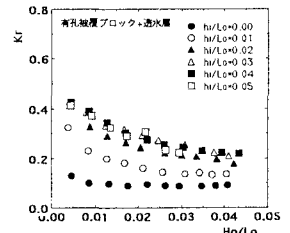


図-2(b)  $K_r$ と $H_o/L_o$ の関係 (有孔被覆ブロック+透水層)

図-6は、図-5と同様の考え方で有孔被覆ブロックによるエネルギー消費と有孔被覆ブロック+透水層によるエネルギー消費( $E_{p, loss}$ )の割合を縦軸に、 $H_o/L_o$ を横軸にとり図示したものである。 $h_i/L_o=0.00$ のケースでは、透水性によるエネルギー消費は $H_o/L_o$ にかかわらずほぼ0となっている。透水性によるエネルギー消費は、 $H_o/L_o=0.005$ で $h_i/L_o=0.05, 0.04$ のとき総エネルギー消費の約10%弱、 $h_i/L_o=0.03, 0.02, 0.01$ で約5%弱の値となっており、 $H_o/L_o \doteq 0.03$ では殆ど透水性によるエネルギー消費はなくなる。

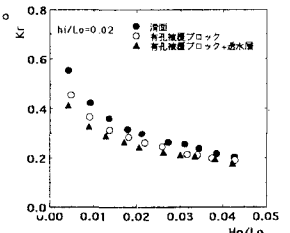


図-3  $K_r$ と $H_o/L_o$ の関係

図-7は $h_i/L_o=0.02$ の場合の砕波、粗度、透水性によるエネルギー消費の割合を図示したものである。粗度、透水性によるエネルギー消費は図-5、図-6で求めた値より決め、他を砕波によるエネルギー消費としたものである。 $H_o/L_o$ が小さい程粗度、透水性によるエネルギー消費が大きく、 $H_o/L_o \doteq 0.03$ 以上では粗度、透水性によるエネルギー消費はほぼ0になっている。これらの結果は前報<sup>2)</sup>で示した結果と同様である。堤脚水深が大きくなると図-5、図-6で示したように粗度、透水性によるエネルギー消費が大きくなるのは、水と接する斜面が長くなるためではないかと思われる。

#### 4. あとがき

$R/H_o$ と $h_i/L_o$ の関係を、滑面、有孔被覆ブロック、有孔被覆ブロック+透水層毎に $H_o/L_o$ をパラメータとして検討を行った。また $h_i/L_o$ 毎の粗度、透水性によるエネルギー消費の割合等が明らかになった。最後に、共同で解析を行った三田村 篤君に感謝の意を表する。

#### <参考文献>

- 1) 齋藤ら：不規則波による緩傾斜堤への波の打ち上げ高さに及ぼす堤脚水深の影響に関する実験、土木学会東北支部技術研究発表会(平成9年度)、pp.252~253、2)Takahashi, et. al.: Experimental Study on Hydraulic Characteristics of Gentle-Slope Sea Walls Faced with Armour Units, C.E.J.1992.

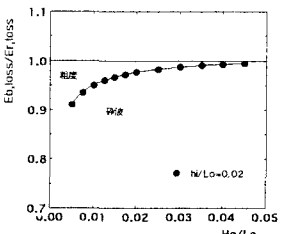


図-4  $E_{b, loss}/E_{r, loss}$ と $H_o/L_o$ の関係

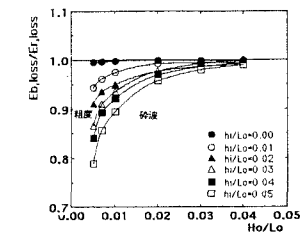


図-5 粗度と砕波によるエネルギー消費

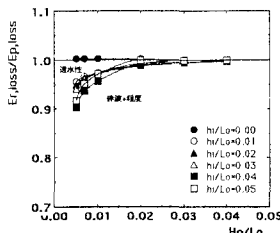


図-6 透水性と砕波+粗度によるエネルギー消費

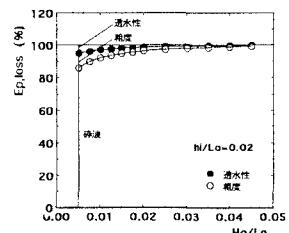


図-7 砕波、粗度、透水性によるエネルギー消費の割合